



Alconpat Internacional

TALLERES RECOMENDACIONES TÉCNICAS ALCONPAT 2022

Dirección de Recomendaciones Alconpat Int.

Pedro Garcés Terradillos, Universidad de Alicante, España

Subdirección de Recomendaciones Alconpat

Jorge Alberto Briceño Mena, Universidad Politécnica de Tapachula, México





Alconpat Internacional

Dirección de Recomendaciones Técnicas

**SEGURIDAD DE LAS ESTRUCTURAS EXISTENTES.
EXTRACCIÓN Y ANÁLISIS DE TESTIGOS DE
ESTRUCTURAS DE HORMIGÓN: *ensayos,
análisis y procedimientos***

Paulo Helene
PhD Engenharia
Presidente IBRACON



Alcance

Aceptación del hormigón durante la construcción



Verificación de seguridad estructural en obras existentes (casos de *retrofit*, rehabilitaciones, intervenciones por accidentes, incendios, etc.)

Equipamiento de extracción



Equipamiento de extracción

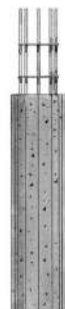


Muestreo. Estructuras en ejecución

conocimiento anterior	formación por lotes	cantidad mínima de testigos por lote
100% de muestreo con mapeo completo rastreabilidad	1 lote = 1 hormigonado	aplicado a un elemento estructural
		aplicado a 3 o + elementos estructurales
desconocimiento parcial o total del mapeo	separar en lotes: uno para pilares, otro para vigas y cabezas de columnas, otro para losas y otro para cimentaciones. Dentro de cada grupo utilice NDT, esclerometría y ultrasonido. Extrae testigos de elementos con índices END más bajos.	hasta 8 m³
		8 m³ < lote < 50 m³

Muestreo. Estructuras existentes

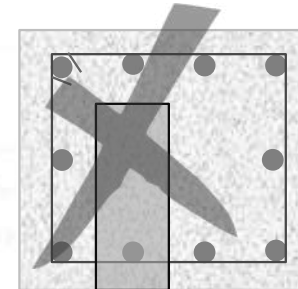
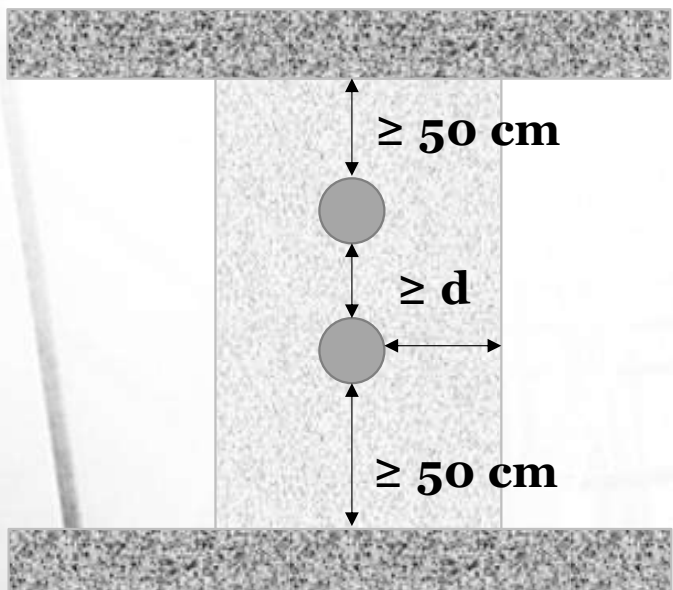
1 lote =



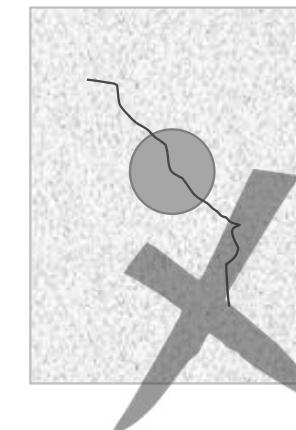
o



o



La armadura
principal no se
puede cortar

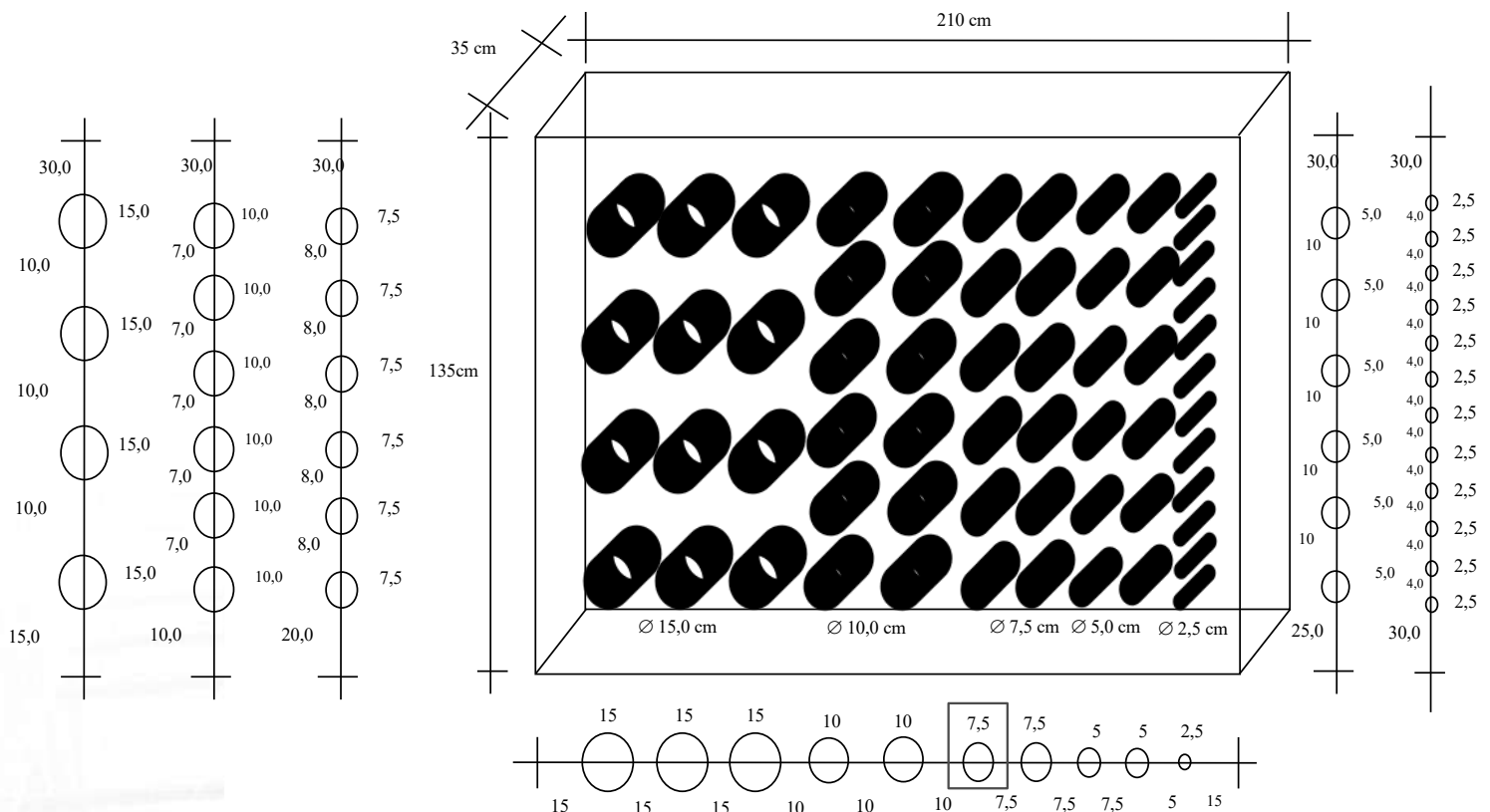


a menos que
el objetivo sea
conocer la
fisura

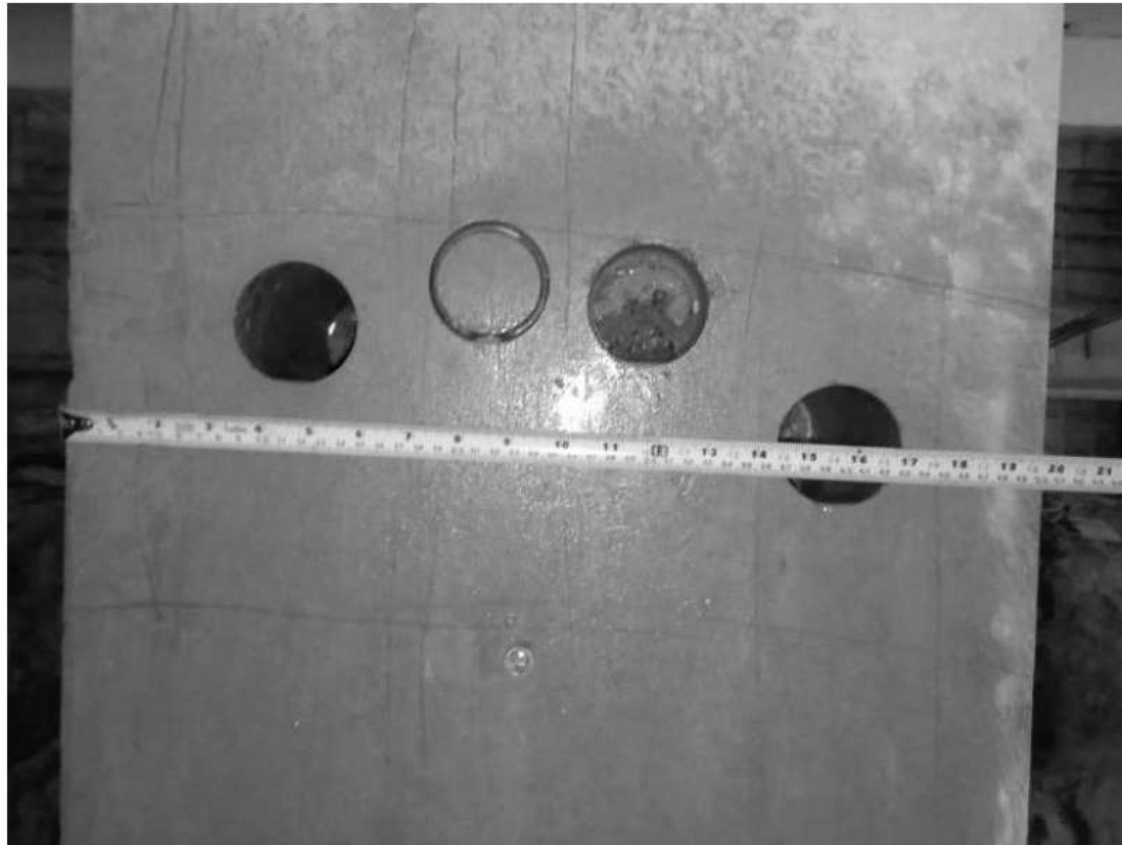
Dimensiones de los testigos

$d \geq 3 \times D_{max}$

$1 \leq h/d \leq 2$



Corte, integridad, ensayo

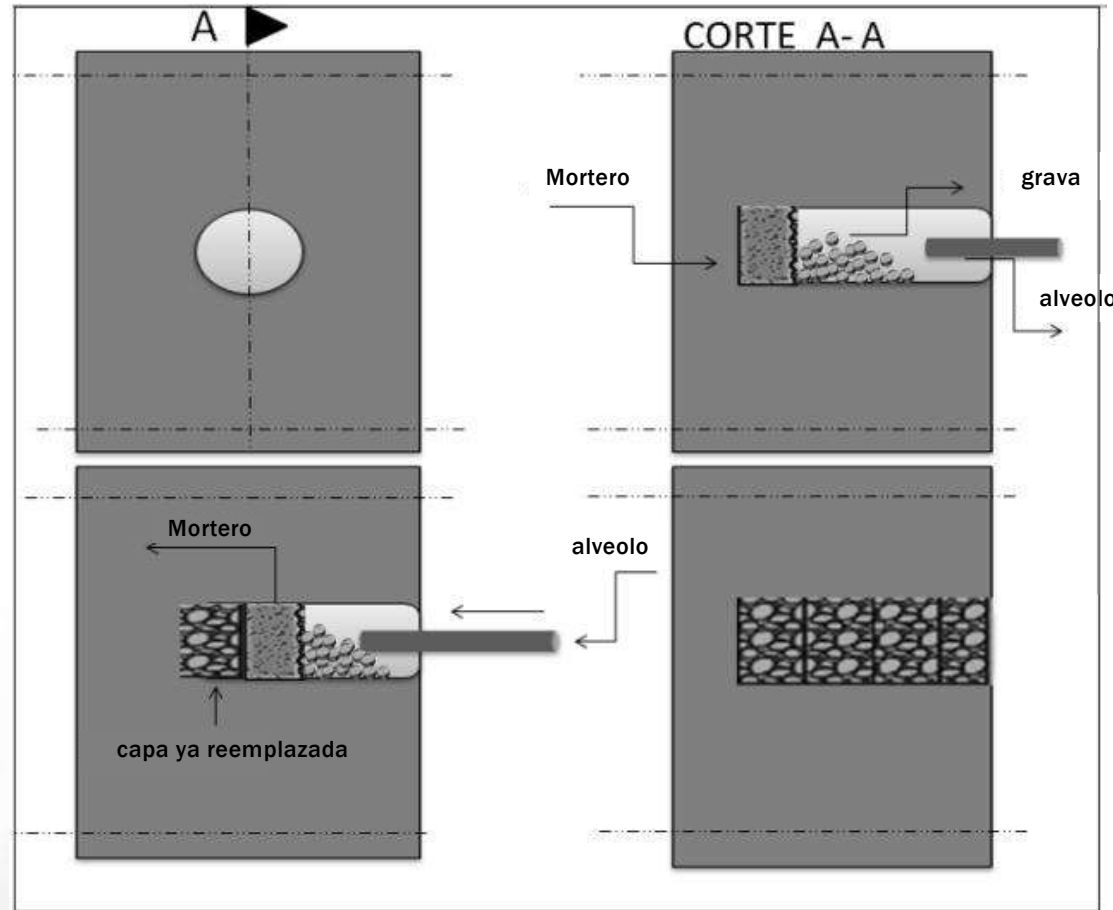


Documentación

Documentar el proceso de extracción con fotos, identificando:

- **El testigo extraído;**
- **El posicionamiento de los agujeros en el elemento estructural;**
- **Registrar y fotografiar signos de posible segregación o grietas en la región de extracción;**
- **Dibujar la ubicación de las extracciones, identificando:**
 - **El elemento estructural;**
 - **La distancia entre agujeros, en caso de existir más de un agujero por elemento estructural;**
 - **La ubicación del agujero en planta y alzado.**

Reparo del agujero



Dry-pack

Coeficientes de corrección

$$f_{ct,ext,j} = f_{ct,lab,j} * k_1 * k_2 * k_3 * k_4 * k_5 * k_6$$

k_1 (relación h/d)		k_2 (efecto broqueo)	k_3 (sentido de extracción y ensayo x vertido del hormigón)	k_4 (humedad del testigo en la prueba)		k_5 (efecto compactación)	k_6 (efecto curado)			
h/d	k_1		⊥		seco	húmedo	Volumen de vacíos > 2,5%	UR > 95%	60% < UR < 95%	UR < 60%
2,00	1,00	1,06	1,02	1,00	0,95	1,00	0,95	1,00	1,05	1,09
1,75	0,98									
1,50	0,96									
1,25	0,93									
1,00	0,87									

Criterios de juzgamiento

Método simplificado → ACI 318

- ✓ la resistencia media de los 3 valores, $f_{ci,ext,j}$ superar → $0,85 * f_{ck}$ y,
- ✓ cualquier valor individual de $f_{ci,ext,j}$ superar → $0,75 * f_{ck}$

Método del coeficiente de corrección

$$f_{ci,ext,j} = f_{ci,lab,j} * k_1 * k_2 * k_3 * k_4 * k_5 * k_6$$

Verificación de seguridad estructural

P/considerar el efecto negativo de las cargas a largo plazo

$$f_{ci,28} = f_{ci,ext,j} * \left\{ e^{\left[0,17 * \left(1 - \sqrt{\frac{28}{j}} \right) \right]} \right\}^{-1}$$

$$f_{ci,28} = f_{ci,ext,j} * \left\{ 0,96 - 0,12 * \sqrt[4]{\ln[72(j - 28)]} \right\}^{-1}$$

Incumplimiento final

- a) determinar las restricciones al uso de la estructura;
- b) proporcionar el proyecto de refuerzo;
- c) decidir por la demolición parcial o total de la estructura.

Significado de los resultados

**¿qual es el referencial de
resistencia del concreto a
compresión, f_{ck} o f_c' , en
Cuba, Paraguay, México,
Argentina, Portugal, USA...
y Brasil ?**



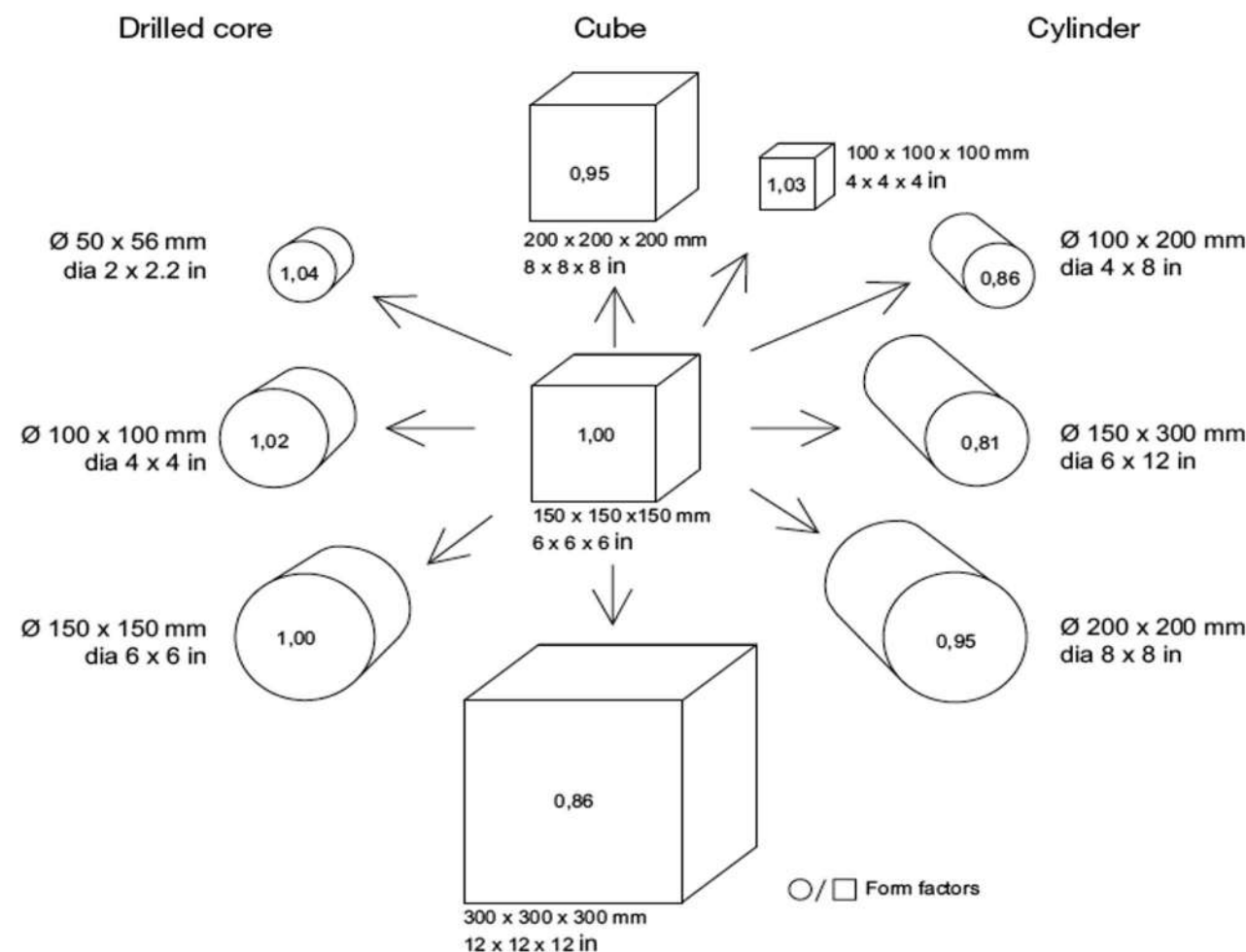


Figure 7-21 Form factors

**La resistencia a compresión del concreto
es una convención
internacional que elige un método de
ensayo muy estricto para medir su
máxima resistencia potencial y se refiere
a la resistencia de un volumen de
concreto mezclado de una sola vez
(mixer)**

¿Cuál es la resistencia
efectiva del concreto
en las estructuras,
 f_{cef} ?







Normas Brasil

ABNT NBR 6118:2014 - Projeto de estruturas de concreto – Procedimento;

ABNT NBR 6120:2000 – Cargas para o cálculo de estruturas de edificações;

ABNT NR 6122:2010 – Projeto e execução de fundações;

ABNT NBR 6123:2013 – Forças devidas ao vento em edificações;

ABNT NBR 7188:2013 – Carga móvel rodoviária e de pedestres em pontes,
viadutos, passarelas e outras estruturas;

ABNT NBR 8681:2004 – Ações e segurança nas estruturas – Procedimento;

ABNT NBR 9062:2017 – Projeto e execução de estruturas de concreto pré-moldado;

ABNT NBR 15200:2012 – Projeto de estruturas de concreto em situação de
incêndio;

ABNT NBR 15421:2006 – Projeto de estruturas resistentes a sismos –
Procedimento;

ABNT NBR 15575:2013 – Edificações habitacionais – Desempenho;

Normas USA y Europa

ACI-318-14 – Building Code Requirements for Structural Concrete and Commentary;

EN 1991 EUROCODE 1 – Actions on structures:

Part 1-1: General actions – Densities, self-weight and imposed loads;

Part 1-2: General actions – Actions on structures exposed to fire;

Part 1-3: General actions – Snow loads;

Part 1-4: General actions – Wind actions;

Part 1-5: General actions – Thermal actions;

Part 1-6: General actions – Actions during execution;

Part 1-7: General actions – Accidental actions;



EN 1992 EUROCODE 2 – Design of concrete structures:

Part 1-1: General – Common rules for building and civil engineering structures;

Part 1-2: General – Structural fire design;

Part 2: Bridges;

Part 3: Liquid retaining and containment structures;



fib Model Code for Concrete Structures 2010;



ISO 22111:2007 – Basis for Design of Structures. General Requirements

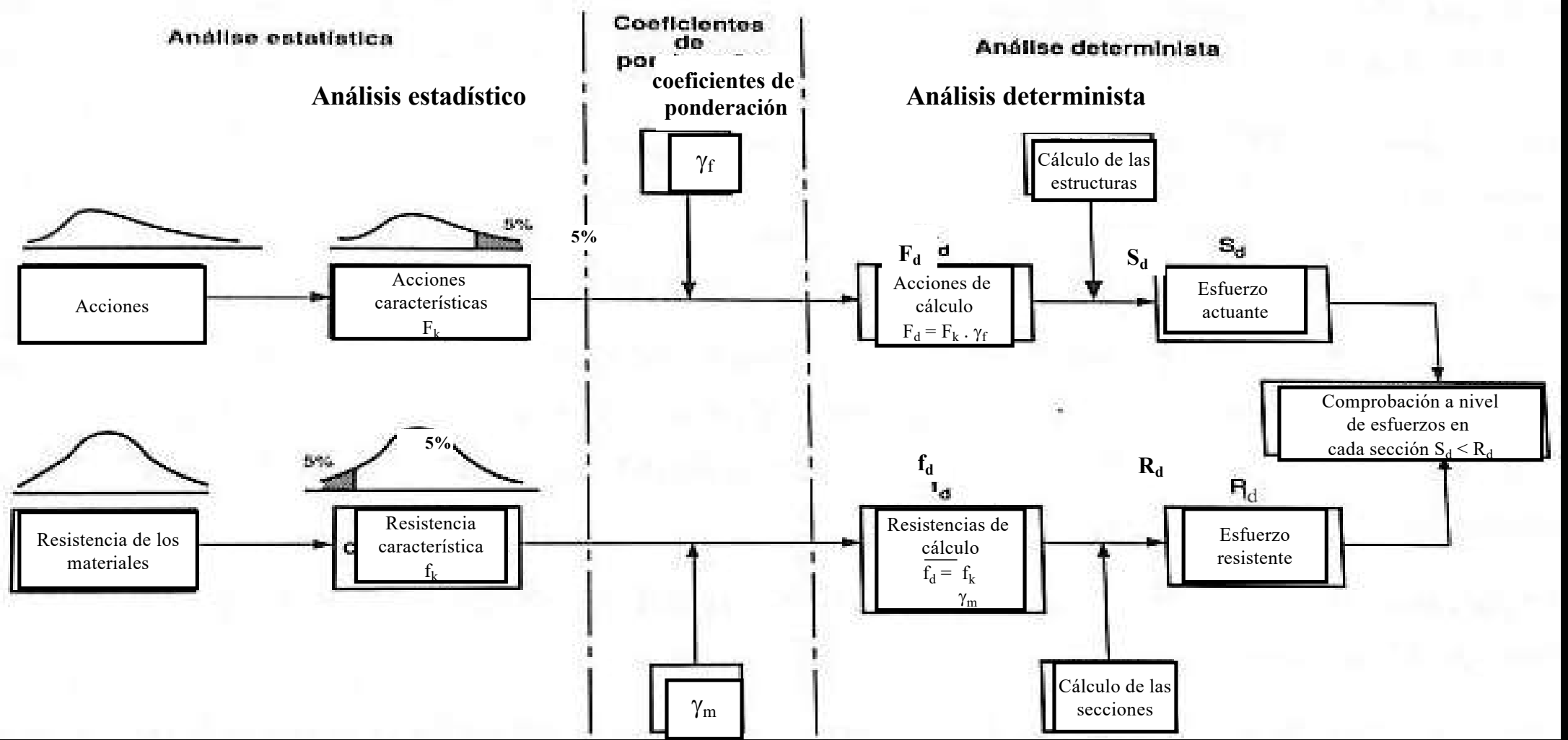


¿Cómo es la introducción de la seguridad (resistencia e estabilidad) en el diseño estructural?



partial factor format – fib Model Code 2010

metodo semi probabilista



acciones y seguridad en las estructuras

Brasil, USA, Europa

Acciones majoradas (incrementadas):

$$F_d = F_k * \gamma_f$$

Resistencias minoradas (reducidas):

$$f_d = \frac{f_k}{\gamma_m}$$

$$f_{cd} = \frac{f_{ck}}{\gamma_c}$$

$$f_{cd} = \frac{f_{ck}}{1,5} = 0,66 * f_{ck}$$

$$\sigma_{cd} = 0,85 * f_{cd} = 0,85 * 0,66 * f_{ck} = 0,57 * f_{ck}$$

$$\sigma_{cd} = f_{ck,ef} = 0,57 * f_{ck}$$

$$f_{cd} = \frac{f_{ck}}{\gamma_c}$$

$$f_{cd} = \frac{f_{ck}}{1,5} = 0,66 * f_{ck}$$

$$\sigma_{cd} = 0,85 * f_{cd} = 0,85 * 0,66 * f_{ck} = 0,57 * f_{ck}$$

$$\sigma_{cd} = f_{ck,ef} = 0,57 * f_{ck}$$

$$f_{ck} = 1,75 * f_{ck,ef}$$

$$f_{ck} = 200 \text{ kgf/cm}^2 = 20 \text{ MPa} \rightarrow$$

$$f_{ck, ef} = 114 \text{ kgf/cm}^2 = 11,4 \text{ MPa}$$

$$f_{ck} = 400 \text{ kgf/cm}^2 = 40 \text{ MPa} \rightarrow$$

$$f_{ck, ef} = 228 \text{ kgf/cm}^2 = 22,8 \text{ MPa}$$

$$f_{ck} = 800 \text{ kgf/cm}^2 = 80 \text{ MPa} \rightarrow$$

$$f_{ck, ef} = 456 \text{ kgf/cm}^2 = 45,6 \text{ MPa}$$

significado de $\gamma_c = 1,5$

$$\gamma_c = \gamma_m * \gamma_{Rd1} * \gamma_{Rd2}$$

$\gamma_m \rightarrow$ considera la variabilidad de la resistencia efectiva del concreto en la estructura ($\gamma_m = 1,23$ a $1,39$)

$\gamma_{Rd1} \rightarrow$ considera las incertezas del modelo de cálculo empleado ($\gamma_{Rd1} = 1,05$)

$\gamma_{Rd2} \rightarrow$ considera la diferencia de geometría entre probeta y forma del elemento estructural ($\gamma_{Rd2} = 1,05$)

$$\gamma_c = \gamma_m * \gamma_{Rd1} * \gamma_{Rd2} = 1,36 * 1,05 * 1,05$$

$$\sigma_{cd} = f_{ck,ef} = 0,57 * f_{ck}$$

$$f_{ck} = 1,75 * f_{ck,ef}$$

$$f_{ck,ef} = 0,63 * f_{ck}$$

$$f_{ck} = 1,60 * f_{ck,ef}$$

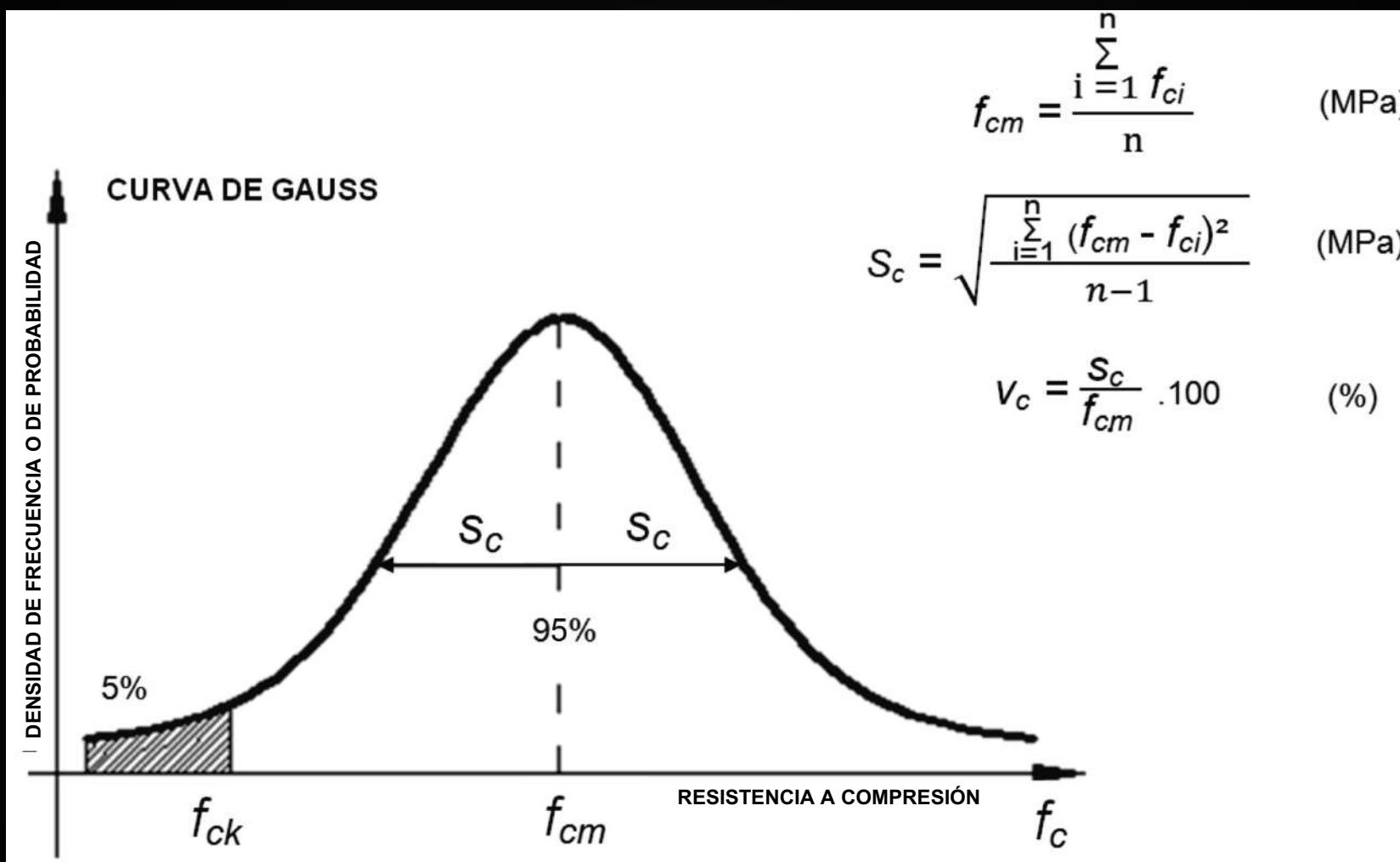
¿que es resistencia característica del concreto a compresión f_{ck} ?



$$f_{cm} = \frac{\sum_{i=1}^n f_{ci}}{n} \quad (\text{MPa})$$

$$s_c = \sqrt{\frac{\sum_{i=1}^n (f_{cm} - f_{ci})^2}{n-1}} \quad (\text{MPa})$$

$$v_c = \frac{s_c}{f_{cm}} \cdot 100 \quad (\%)$$



Premisas

como crece la resistencia
con la edad a partir de
28dias ?

onde j é a idade do concreto em dias.

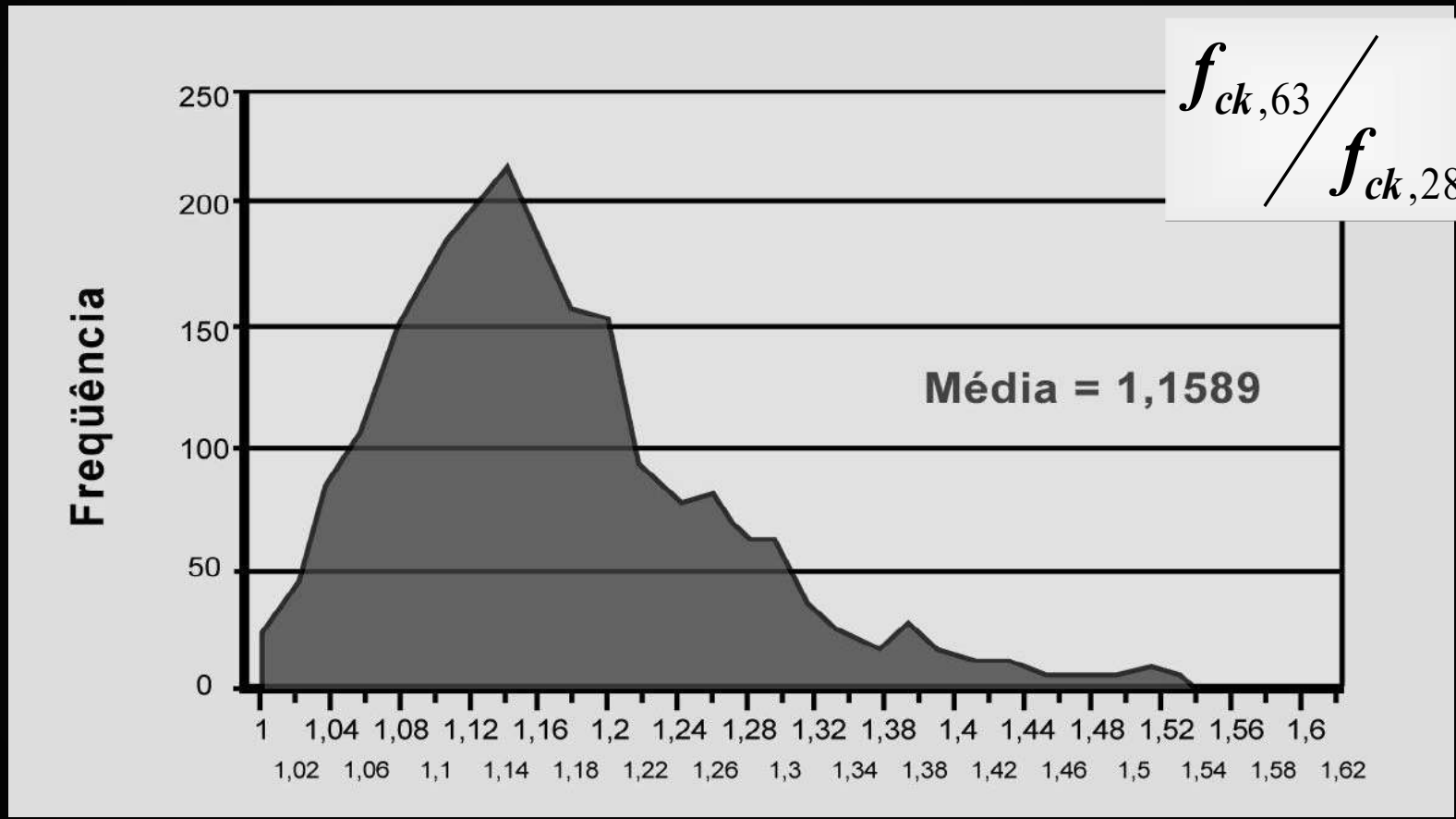
$$\frac{f_{c,j}}{f_{c,28}} = e^{s*(1-\sqrt{\frac{28}{j}})}$$

*fib Model
Code 2010
Item 5.1.9*

CPV ARI	$s = 0,20$	$1,21 \rightarrow 50\text{anos}$
CP I / II	$s = 0,25$	$1,28 \rightarrow 50\text{anos}$
CP III / IV	$s = 0,38$	$1,45 \rightarrow 50\text{anos}$
NBR 6118	$s = 0,16$	$1,16 \rightarrow 50\text{anos}$

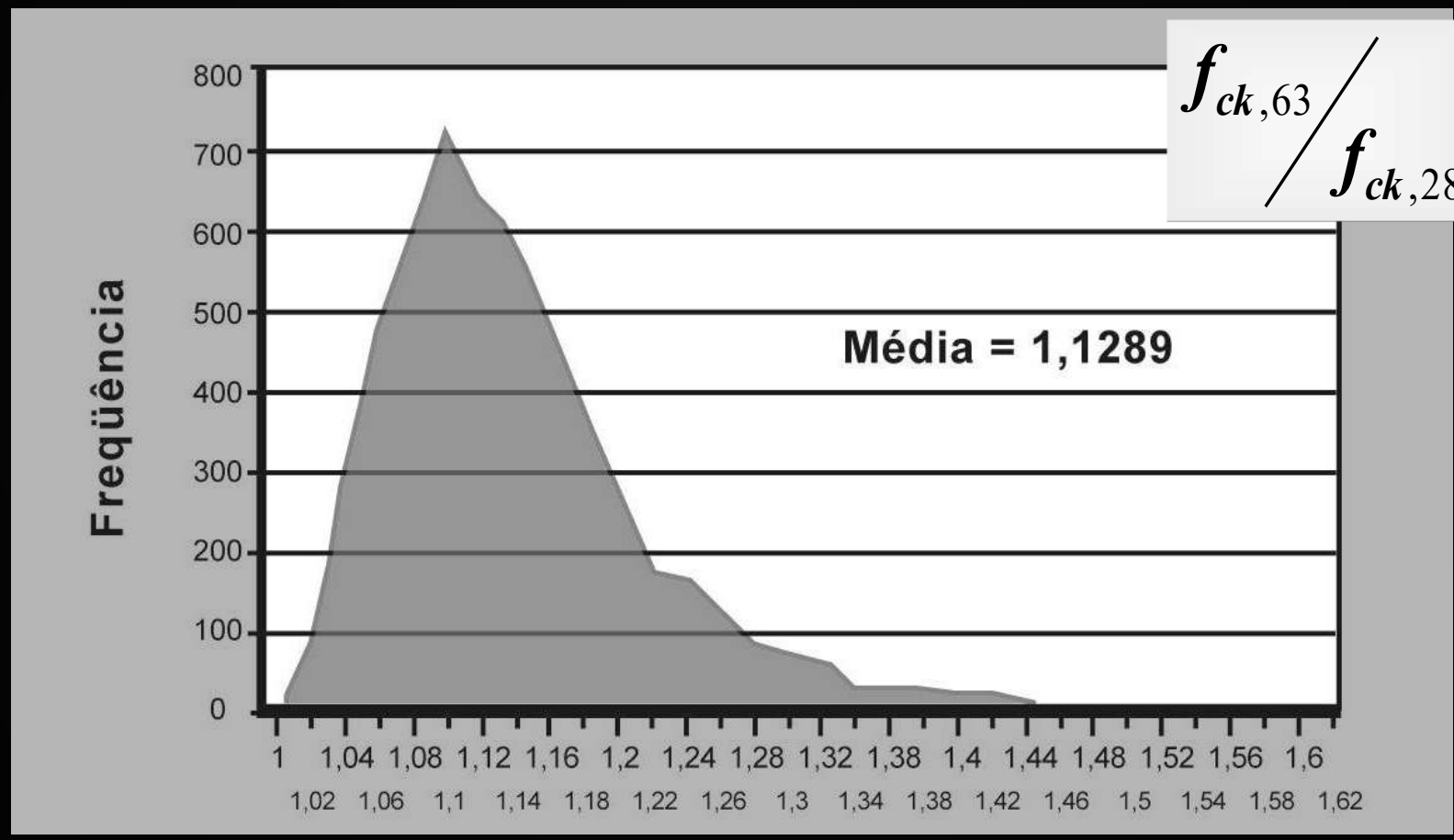
Análisis (*histórica, década 90*)

2.046 Registros Analisados, CP III

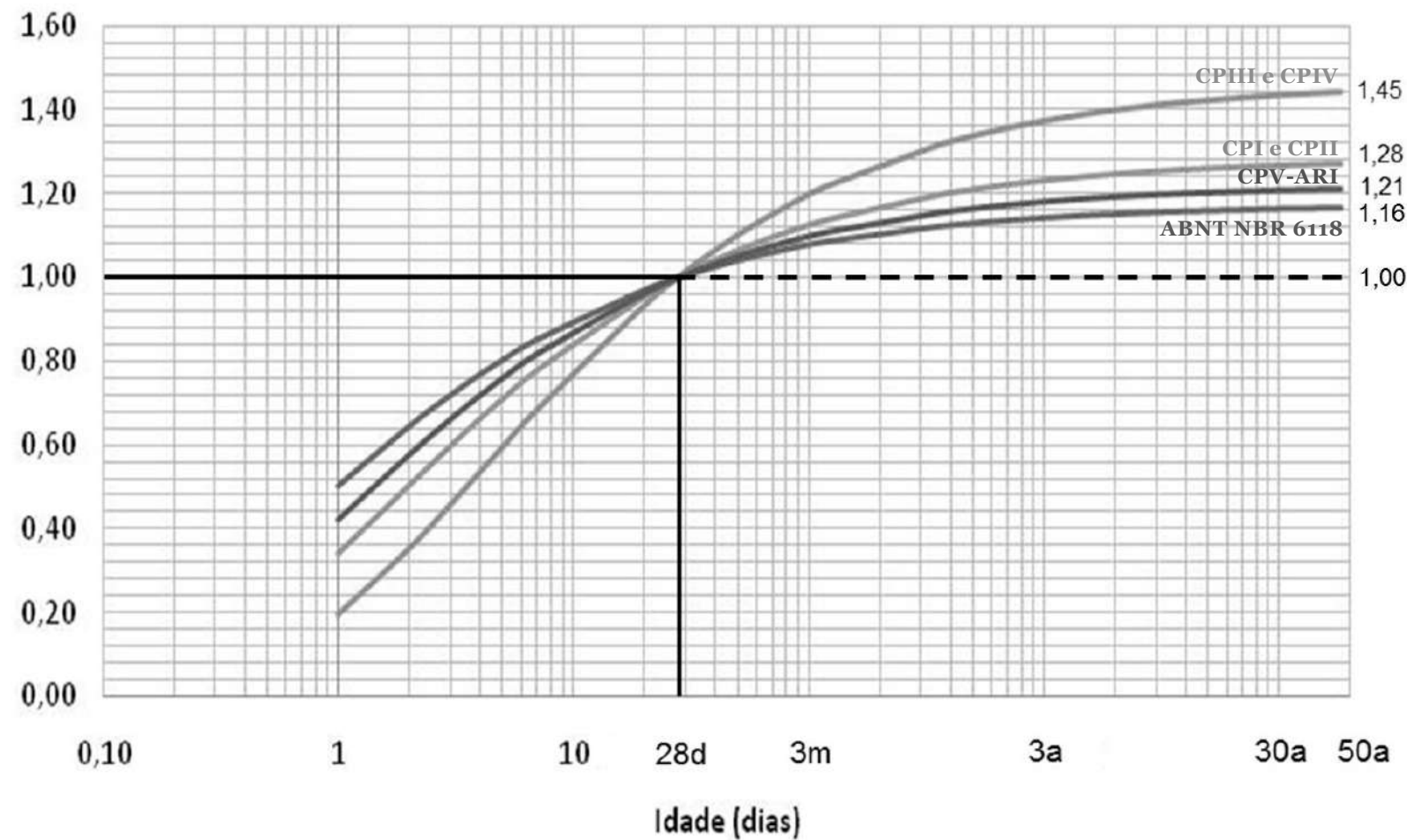


Análisis General *(histórica, década 90)*

8.429 Registros Analisados, todos los cementos



Evolução do crescimento da resistência do concreto em CP relaxado



Premisas

como decrece la
resistencia con la
edad a partir de
28dias ?

Resistencia sob Carga de Larga Duración

(efeito Rüsch)

*fib Model
Code 2010
Item 5.1.9.2*

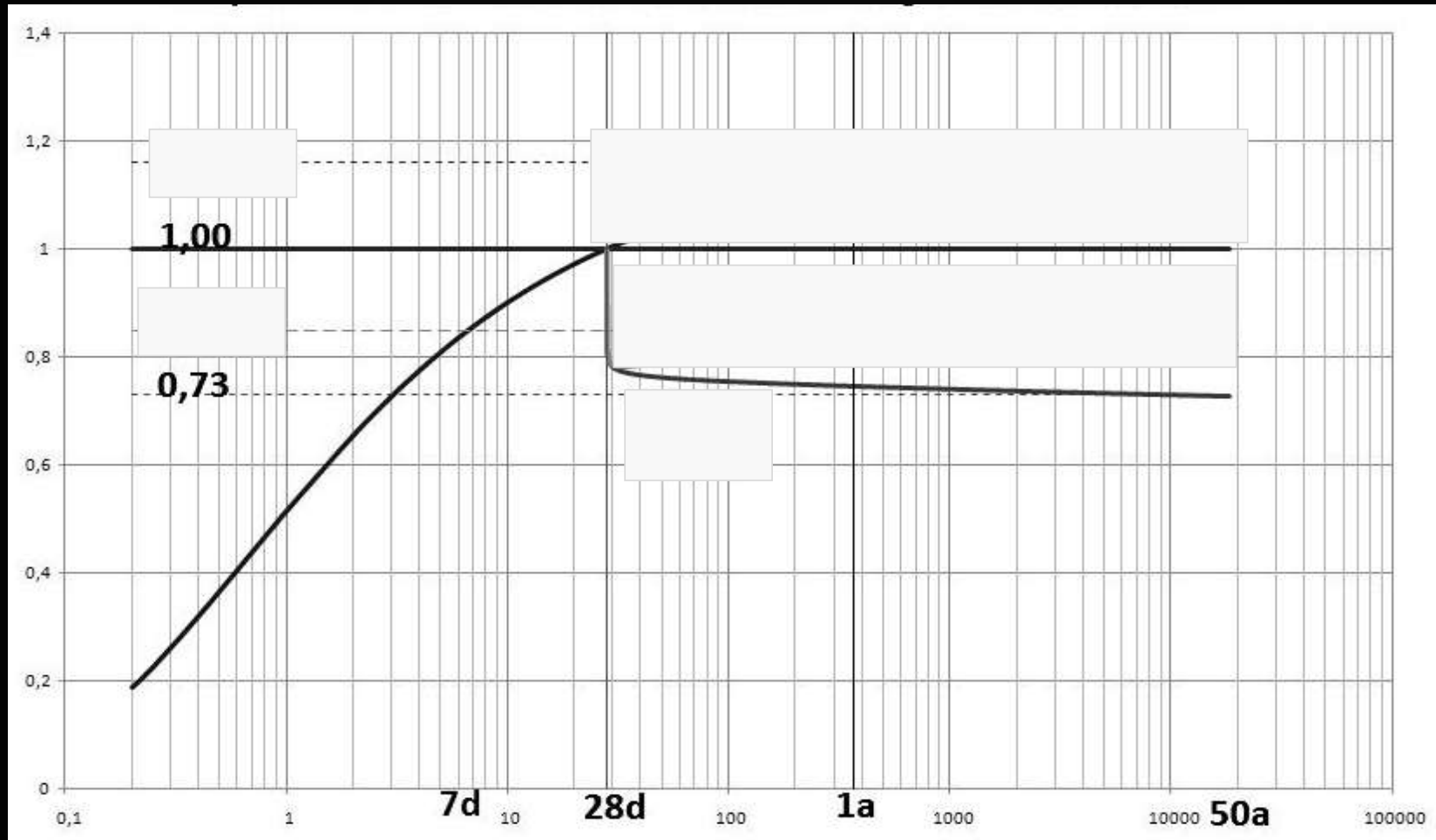
$$\frac{f_{c,j}}{f_{c,t_0}} = 0,96 - 0,12 * \sqrt[4]{\ln \{72 * (j - t_0)\}}$$

→ j en días

→ t_o → edad de aplicación de las cargas

→ $j - t_o > 15$ minutos

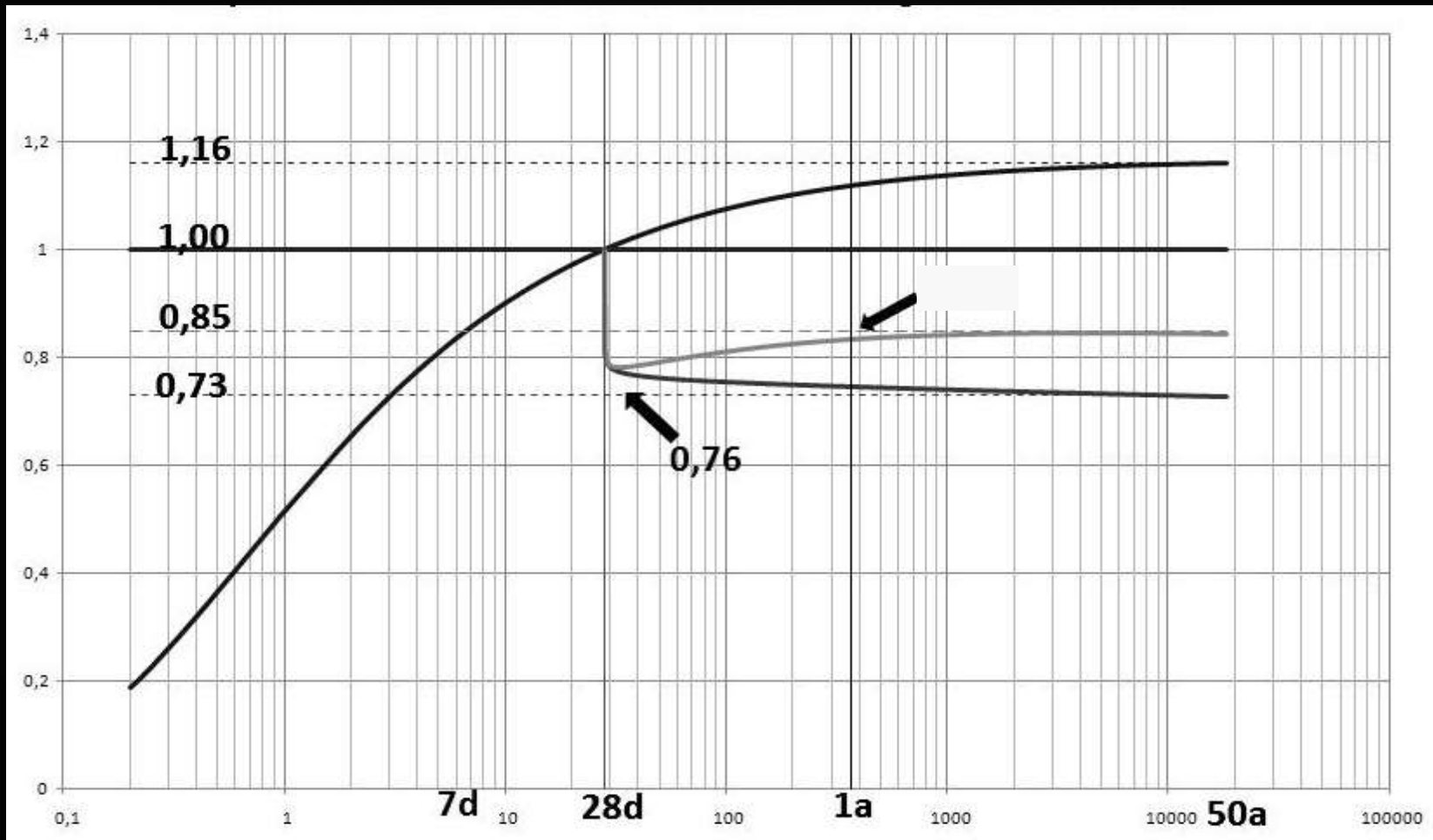
reducción de la resistencia



Premisas

combinando crecimiento
con disminución a partir
de 28dias ?

resistencia del concreto “cargado” a 28dias



¿Cómo examinar la resistencia en estructuras existentes?



ABNT NBR 7680:2015
ACI 318 chapter 20
EN 13791:2007

extracción testigos $f_{ck,ext,j}$

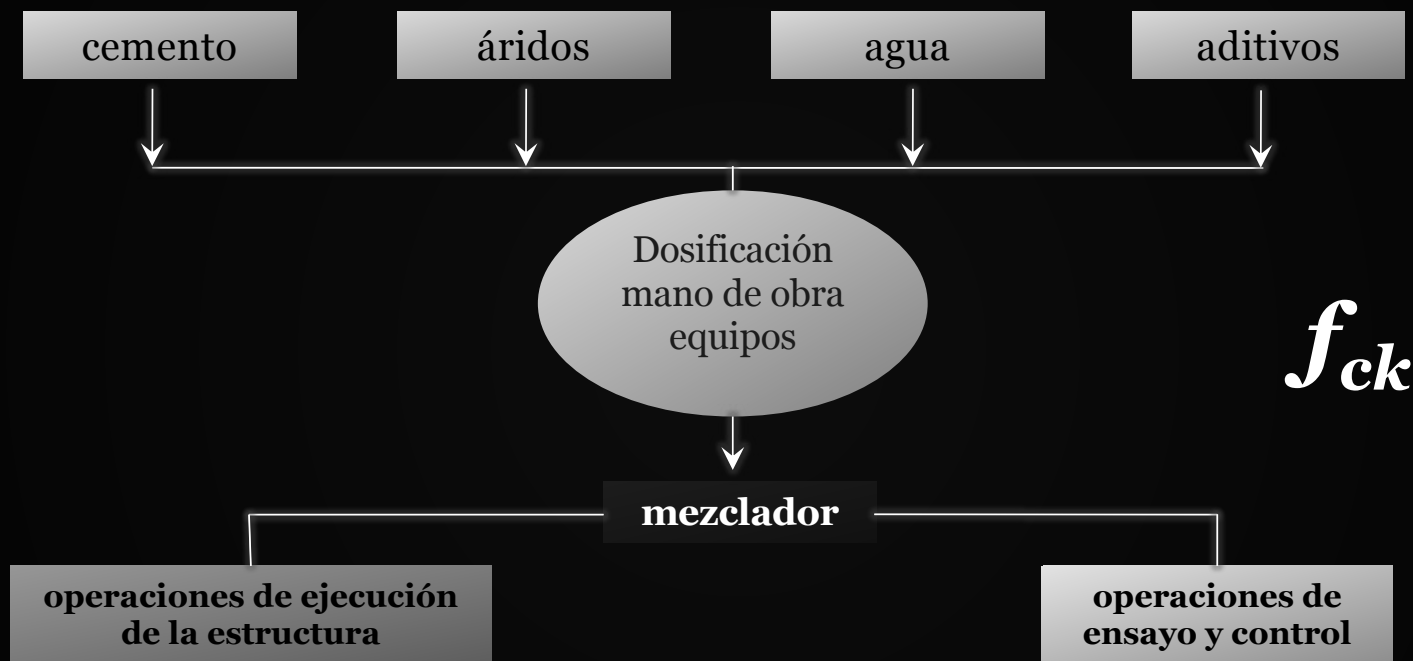
diseño estructural f_{ck}

control a pie de obra $f_{ck,est}$

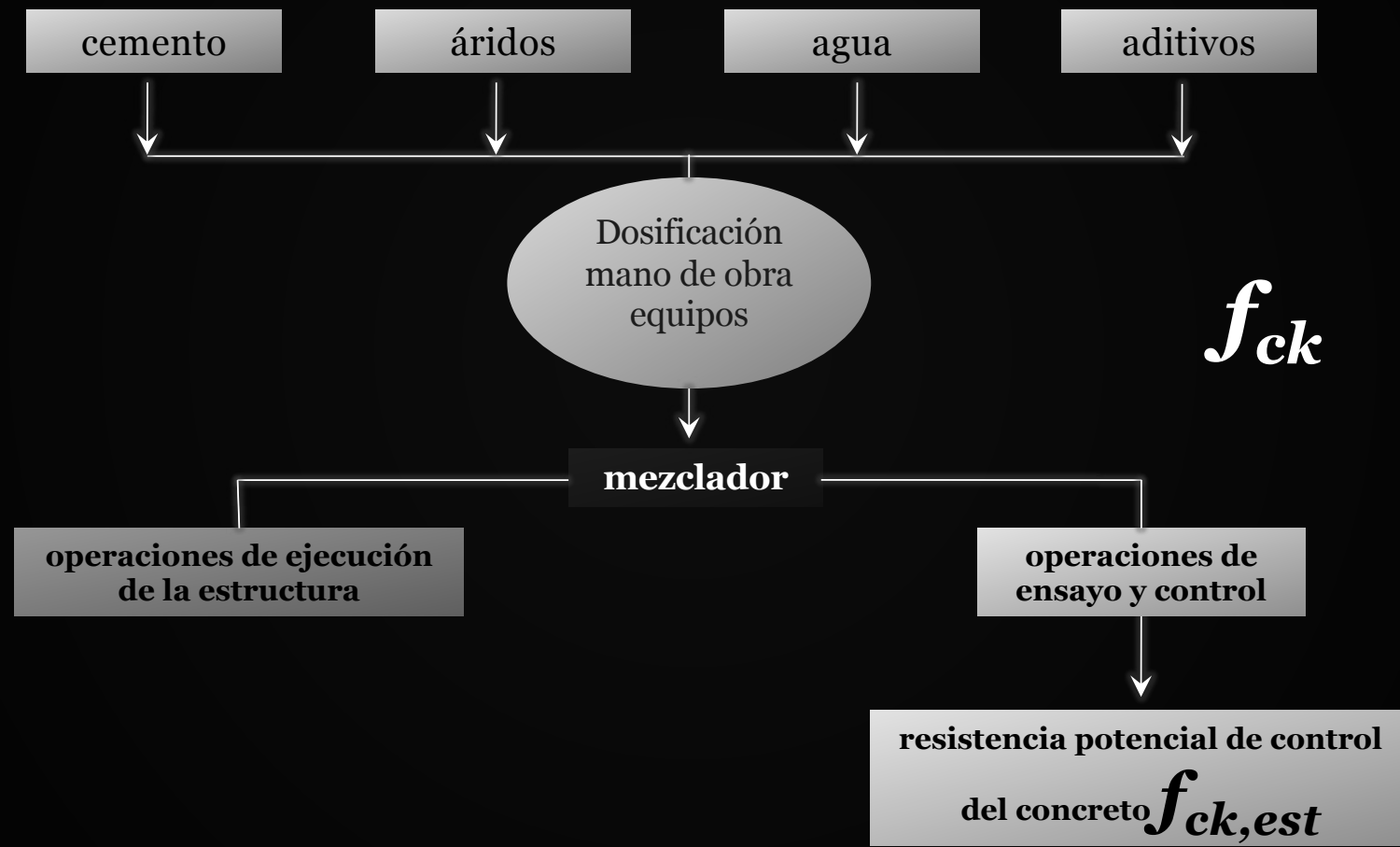
referencial
 f_{ck}



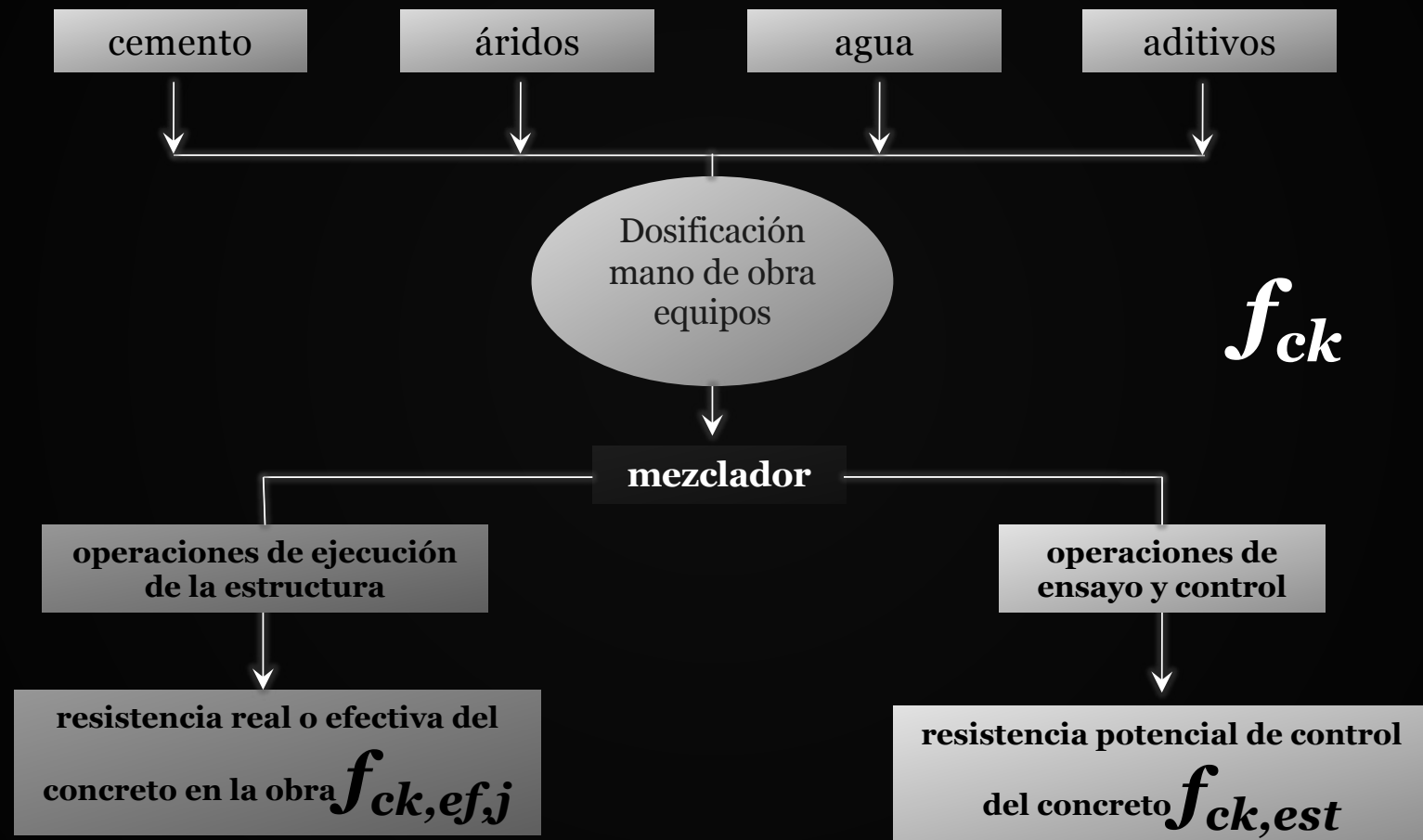
Resistencia del concreto



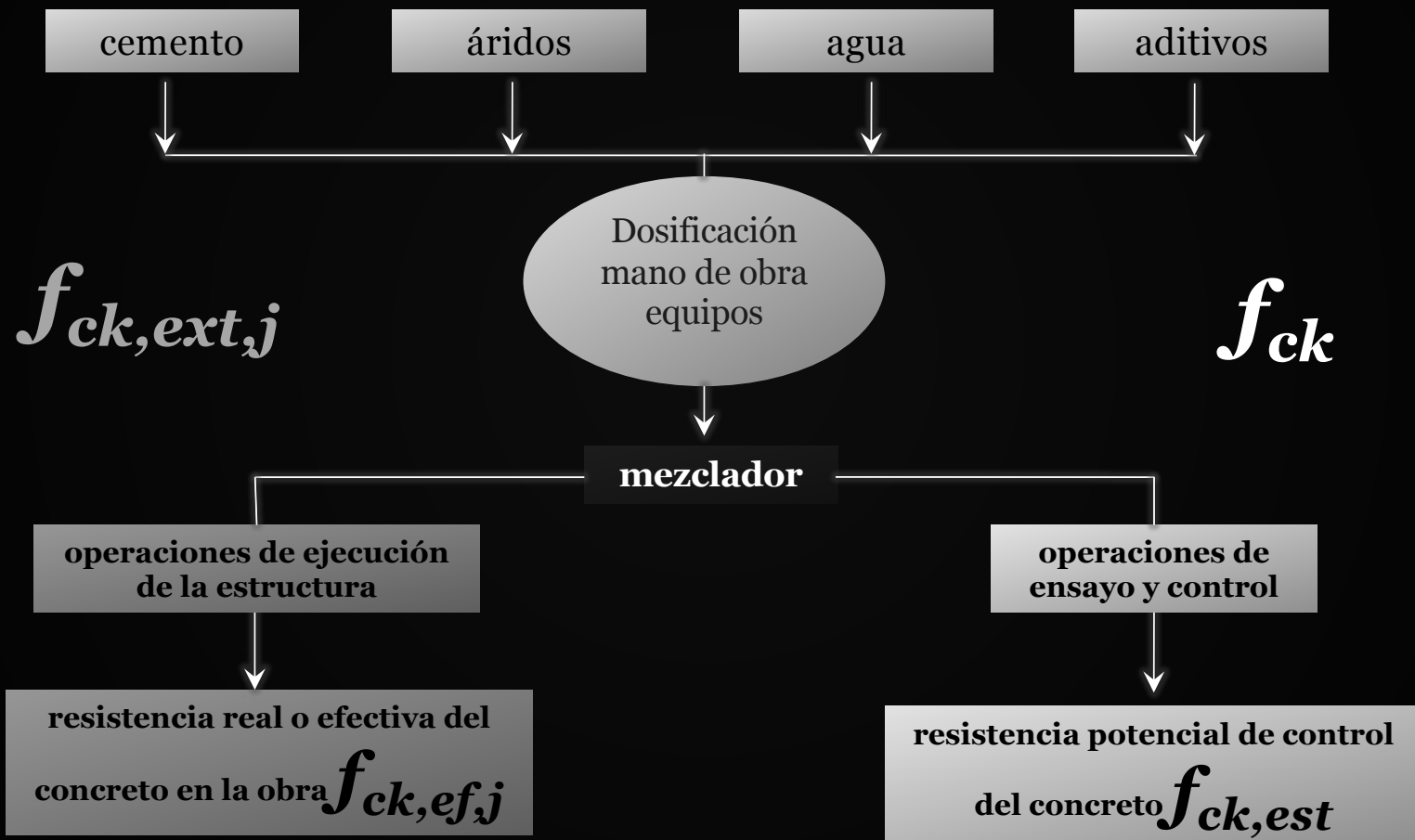
Resistencia del concreto



Resistencia del concreto



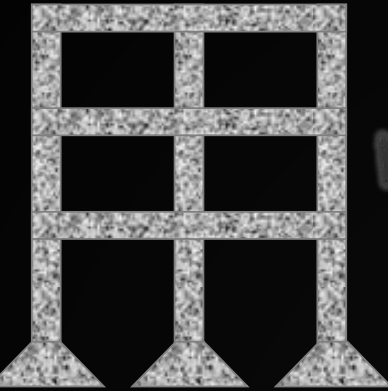
Resistencia del concreto



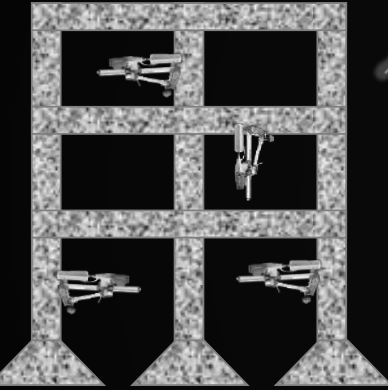
Tesis de doctorado

CREMONINI, R. A. Análise de Estruturas
Acabadas: Contribuição para a Determinação da
Relação entre as Resistências Potencial e Efetiva
do Concreto. São Paulo, EPUSP, 1994.

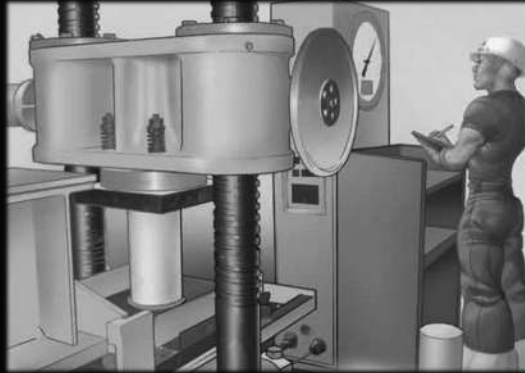
Ruy Alberto Cremonini. Prof. Associado, UFRGS



Día 0



Días 21 a 25



Días 28

Extraído y moldeado

Conclusiones

columnas:

$$\eta = \frac{f_c}{f_{c,ext}} = \frac{f_{ck}}{f_{ck,ext}} = 1.24$$

losas & (vigas)

$$\eta = \frac{f_c}{f_{c,ext}} = \frac{f_{ck}}{f_{ck,ext}} = 1.20$$

Preliminares

Conceptos:

→ **¿cuál es el objetivo de una investigación con extracción de testigos?**

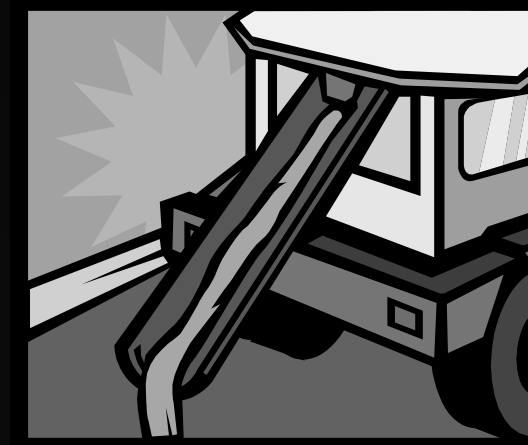
Preliminares

**encontrar un f_{ck} que viabilice revisar la
seguridad, es decir, verificar la
seguridad conforme a las convenciones
universales del diseño estructural de
ECAs**

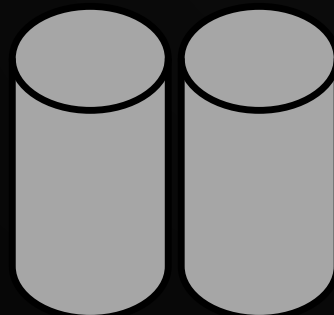
¿Cómo obtener la más grande resistencia a la compresión a los 28 días?

Concreto de una misma betonada:

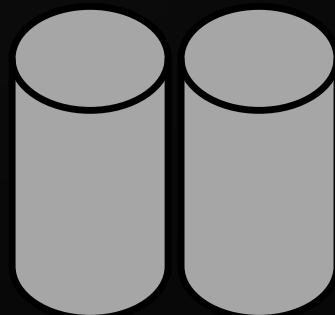
Moldeo de probetas cilíndricas hermanas, por grupo de investigadores



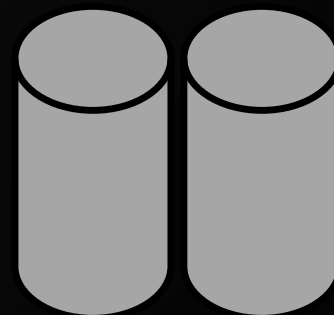
Grupo A



Grupo B



Grupo C



Grupo D

**¿cuantas resistencias tiene el
concreto de un mixer
 $f_{ck} = 45$ MPa?**

f_{c1} f_{c2} f_{c3} f_{c4} f_{c5}

UNA !!

**¿cuál es la resistencia del
concreto de un mixer
para un $f_{ck} = 45$ MPa?**

f_{c1} f_{c2} f_{c3} f_{c4} f_{c5}

promedio

¿cuál es la resistencia del concreto de
un mixer?

para un $f_{ck} = 45 \text{ MPa}$?

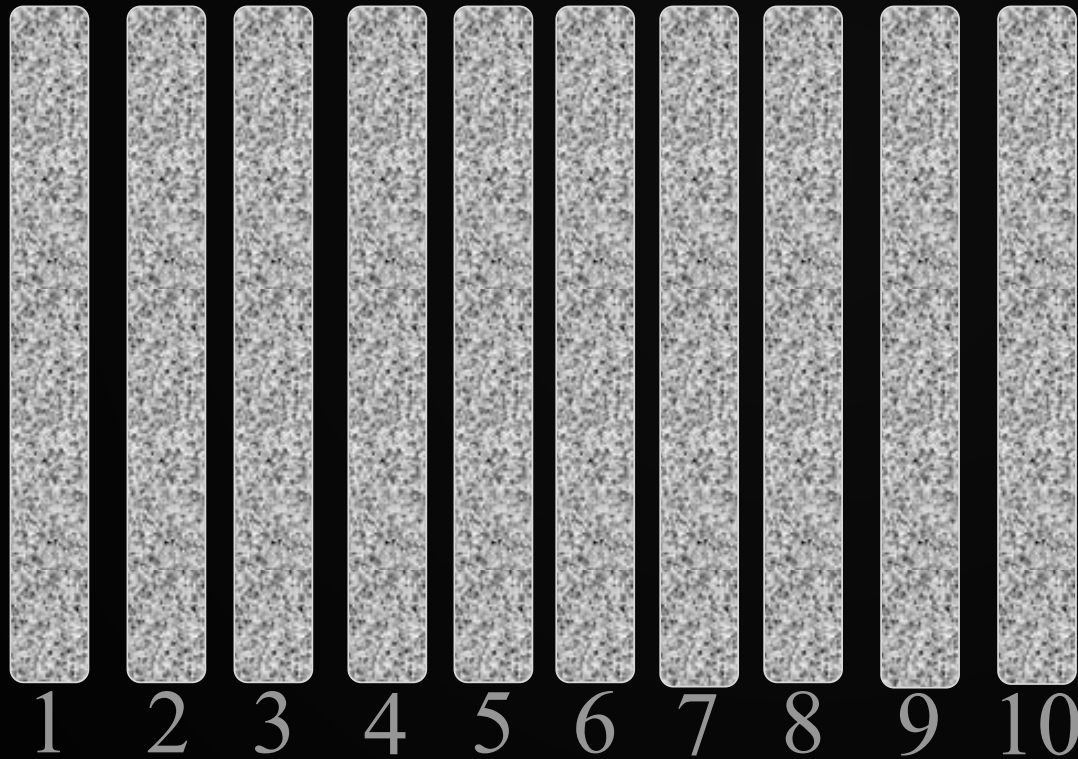
f_{c1} f_{c2} f_{c3} f_{c4} f_{c5}

$f_{ck,est} = 48,7 \text{ MPa}$

$f_{ck} = 45 \text{ MPa}$

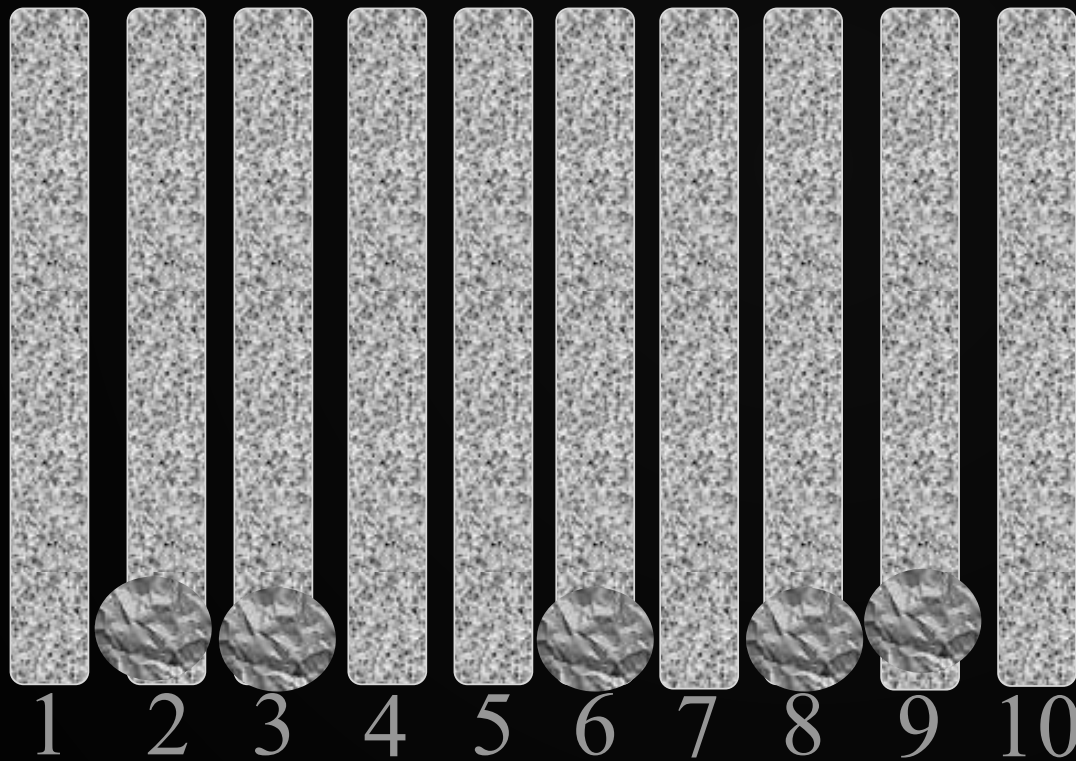
con ese concreto se construyeron 10 columnas.

¿cuál es la resistencia del concreto en esas columnas para la verificación de la seguridad?



f_{ck}
45 MPa

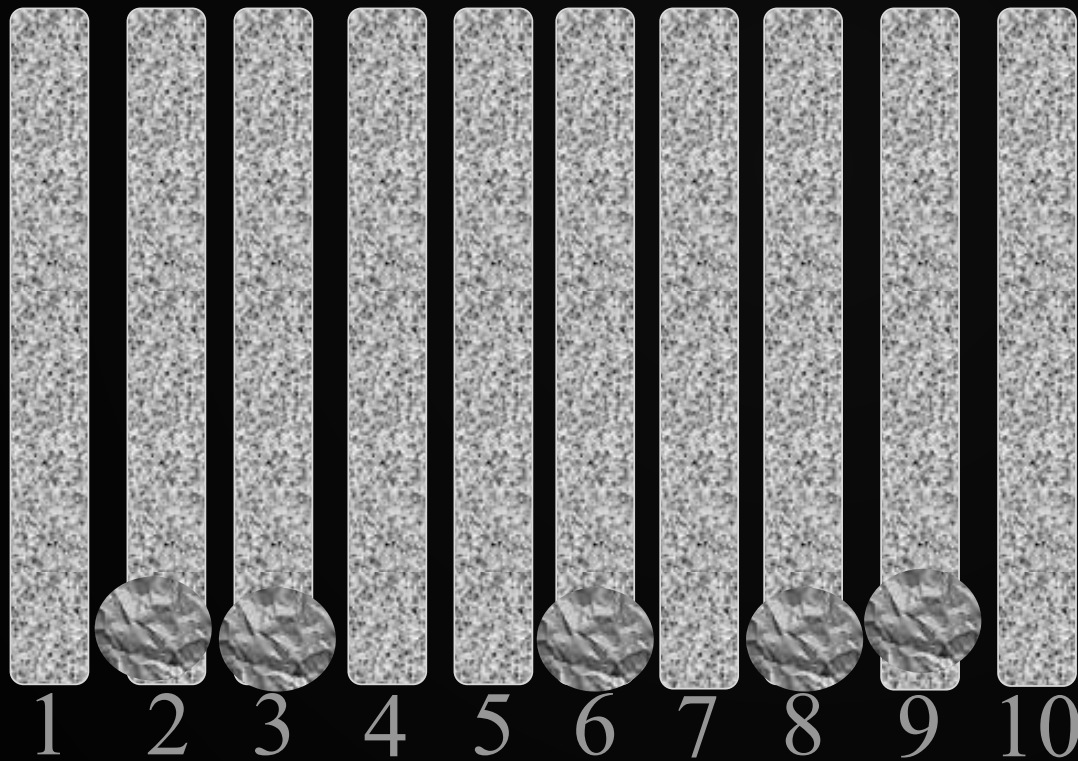
“fallas de hormigonado”
¿cuál es la resistencia del concreto en esas
columnas para la verificación de la seguridad?





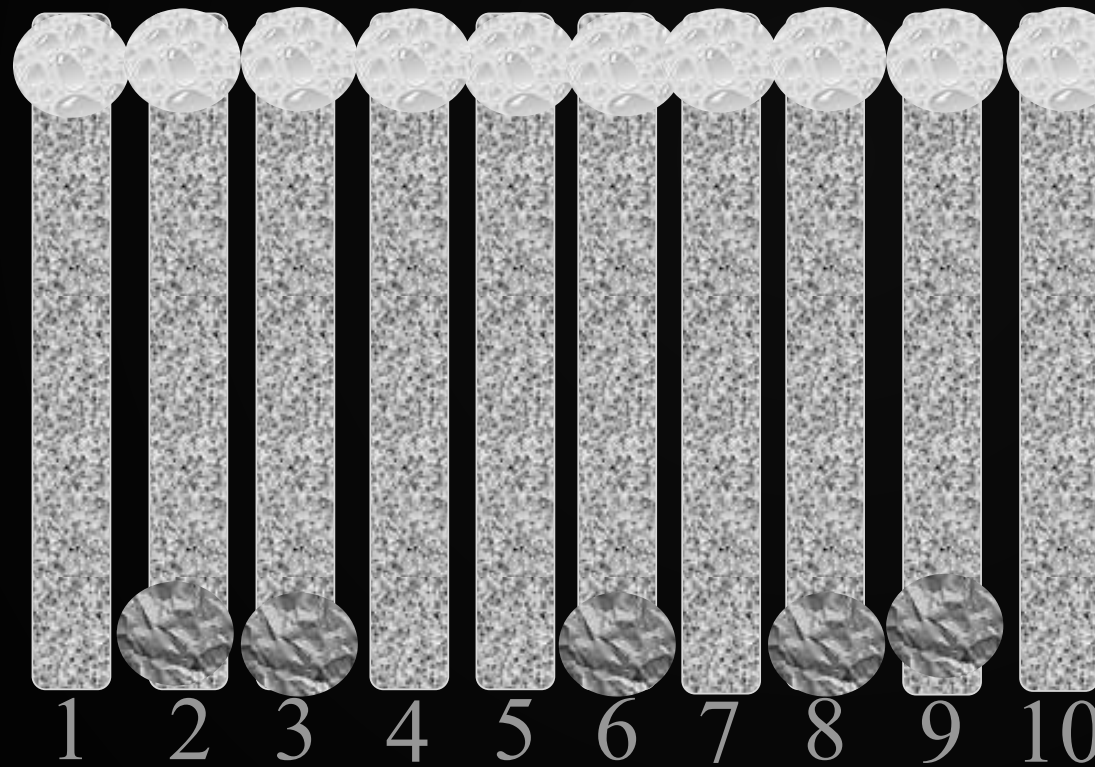


“fallas de hormigonado”
¿cuál es la resistencia del concreto en esas
columnas para la verificación de la seguridad?



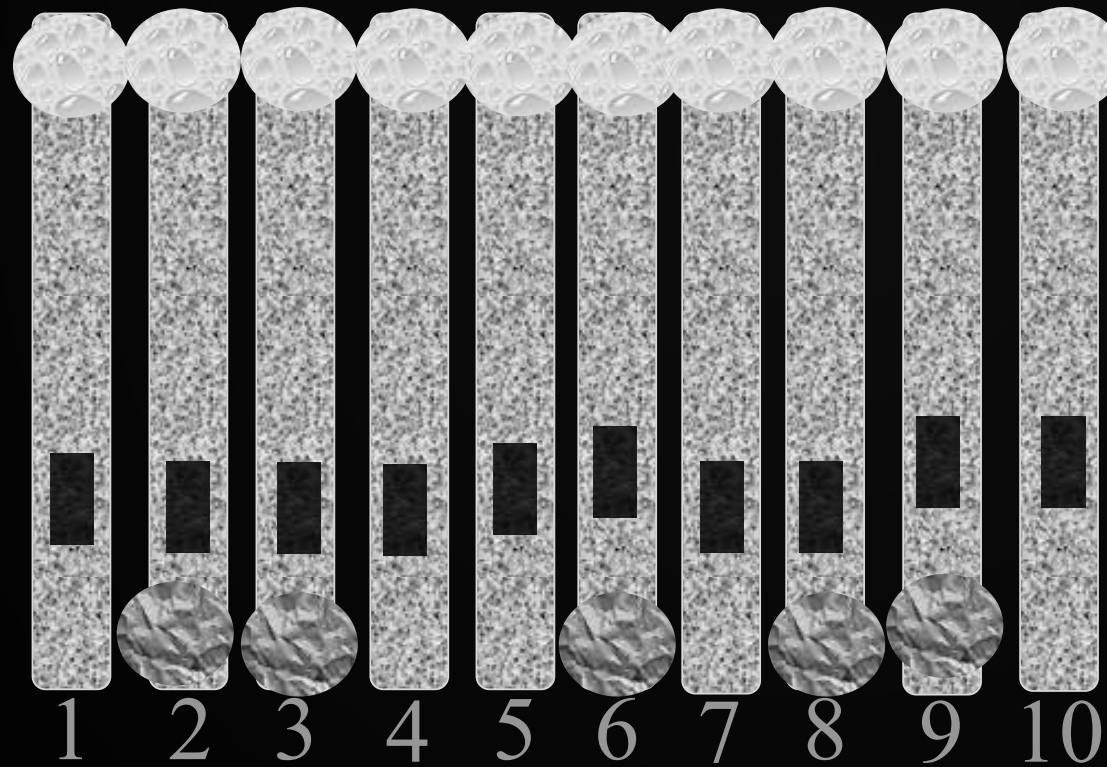
f_{ck}
45 MPa

¿cuál es la resistencia del concreto en esas columnas que están más cerca de la resistencia de control (moldeado) $f_{ck,est}$?



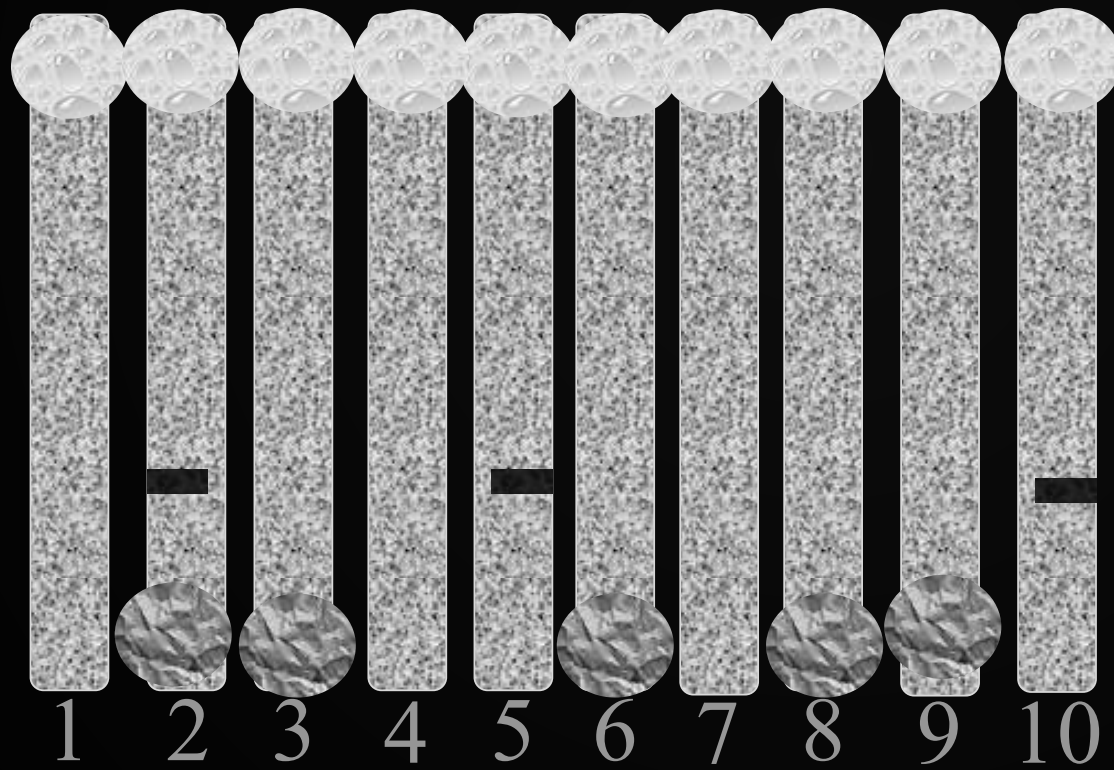
f_{ck}
45 MPa

¿cuál es la resistencia del concreto en esas columnas que están más cerca de la resistencia de control (moldeado) $f_{ck,est}$?



**tercio
inferior**

¿cuál es la resistencia obtenida de una
columna?
 $f_{ck,ext}$?



**tercio
inferior**

$f_{ck,ext,1}$

$f_{ck,ext,2}$

$f_{ck,ext,3}$

¿como corregir ?

$$f_{ck,est,j} = K^* f_{c,ext,j}$$

$f_{ck,est,j}$ = resistencia a la compresión característica del concreto equivalente a la obtenida de cuerpos de prueba moldeados, a j días de edad;

¿cuales son las diferencias (K) entre obra, testigo, ensayo testigo versus ensayo probeta?

- ❖ adensamiento/vibrado
- ❖ temperatura
- ❖ umedad relativa ambiente
- ❖ efecto maquina extracción
- ❖ dirección de vaciado/ensayo
- ❖ umedad del concreto

Adensamiento (vídeo)



Curado



Efecto Maquina de Extracción de Testigos



Efecto Maquina de Extracción de Testigos



TESIS de DOCTORADO

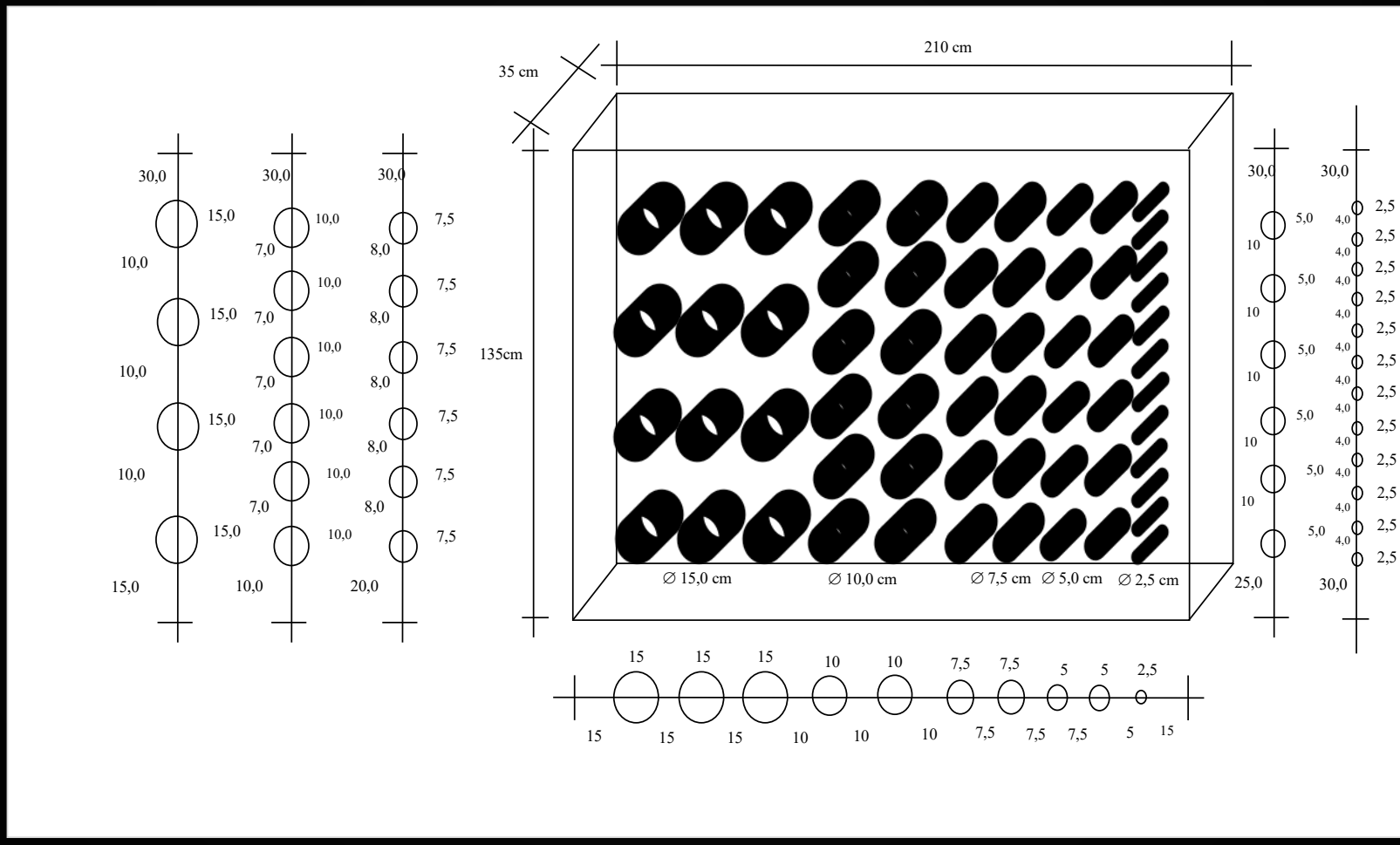
VIEIRA Filho, J. O. Avaliação da Resistência à Compressão do Concreto através de Testemunhos Extraídos: Contribuição à Estimativa do Coeficiente de Correção devido aos Efeitos do Broqueamento. São Paulo, EPUSP, 2007.

José Orlando Vieira Filho. Prof. Titular UNICAP





BLOCO TIPO (210x135x35)cm





Parede/bloco perfurada

Conclusión

Promedio general:

$$\eta = \frac{f_c}{f_{c,ext}} = \frac{f_{ck}}{f_{ck,ext}} = 1.07$$

¿como corregir ?

$$f_{ck,est,j} = K^* f_{c,ext,j}$$

$f_{ck,est,j}$ = resistencia a la compresión característica del concreto equivalente a la obtenida de cuerpos de prueba moldeados, a j días de edad;

ACI 318-14 Building Code Requirements for Structural Concrete and Commentary. 2015. 52op.

Chapter 26. Construction Documents and Inspection.

Item 26.12.4 Investigation of low strength-test results:

(d) Concrete in an area represented by core tests shall be considered structurally adequate if (1) and (2) are satisfied:

$$(1) \quad f_{ck,est} = 1,18 * \frac{f_{c1} + f_{c2} + f_{c3}}{3}$$

$$(2) \quad f_{ck,est} = 1,33 * f_{c,min}$$

R26.12.4.1(d) An average core strength of 85 percent of the specified strength is realistic. It is not realistic, however, to expect the average core strength to be equal to f_{ck} , because of differences in the size of specimens, conditions of obtaining specimens, degree of consolidation, and curing conditions....

¿cómo retroceder a 28 días?

- ❖ es necesario ?
- ❖ comercial versus técnico ?
- ❖ cuando van actuar las cargas de diseño ?

ACI 318-14 Building Code Requirements for Structural Concrete and Commentary. 2015. 520p.
Chapter 26. Construction Documents and Inspection.

R26.12.4.1(d) An average core strength of 85 percent

dation, and curing conditions. The acceptance criteria for core strengths have been established with consideration that cores for investigating low strength-test results will typically be extracted at an age later than specified for f_c' . For the purpose of satisfying 26.12.4.1(d), this Code does not intend that core strengths be adjusted for the age of the cores.

¿cómo retroceder a 28 días?

$$f_{ck,est,j} = K * k_5 * k_6 * f_{c,ext,j}$$

$k_5 \rightarrow$ como crece

$k_6 \rightarrow$ como decrece

¿cómo retroceder a 28 días?

$$f_{ck,est} = K * k_5 * k_6 * f_{c,ext,j}$$

$f_{ck,est}$ = resistencia a la compresión característica del concreto equivalente a la obtenida de cuerpos de prueba moldeados, a 28 días de edad;

onde j é a idade do concreto em dias.

Crescimiento de la Resistencia

$$\beta_{cc,28 \rightarrow j} = \frac{f_{c,j}}{f_{c,28}} = e^{\left\{0,16 \cdot \left[1 - \sqrt{\frac{28}{j}}\right]\right\}}$$

Decrescimo de la Resistencia (efecto Rüschen)

$$\beta_{c,sus,28 \rightarrow j} = \frac{f_{c,j}}{f_{c,28}} = 0.96 - 0.12 \sqrt[4]{\ln[72(j-28)]}$$

→ j en días
→ $j - 28 > 15$ minutos

onde j é a idade do concreto em dias.

Regreso a 28días

$$k_5 = \left\{ e^{\left[0.16 \cdot \left(1 - \sqrt{\frac{28}{j}} \right) \right]} \right\}^{-1}$$

$$k_6 = \left\{ 0.96 - 0.12 \sqrt[4]{\ln[72(j - 28)]} \right\}^{-1}$$

Moraleja

hay que conocer
para hacerlo
bien!

Bibliografía

1. ABNT NBR 12655. Concreto de cimento Portland – Preparo, controle e recebimento –Procedimento;
2. ABNT NBR 14931. Execução de estruturas de concreto – Procedimento;
3. ABNT NBR 15146-1. Controle tecnológico de concreto – Qualificação pessoal;
4. ABNT NBR 5738. Concreto – Procedimento para moldagem e cura de corpos de prova;
5. ABNT NBR 5739. Concreto – Ensaios de compressão de corpos de prova cilíndricos;
6. ABNT NBR 6118. Projeto de estruturas de concreto – Procedimento;
7. ABNT NBR 7584. Concreto endurecido – Avaliação da dureza superficial pelo esclerômetro dereflexão;
8. ABNT NBR 7680. Concreto- Extração, preparo, ensaio e análise de testemunhos de estruturasde concreto;
9. ABNT NBR 8681: Ações e Segurança nas Estruturas. Procedimento.
10. ABNT NBR 8802. Concreto endurecido – Determinação da velocidade de propagação de ondaulassônica;
11. ABNT NBR 9778. Argamassa e concreto endurecidos. Determinação da absorção de água,índice de vazios e massa específica
12. ABNT NBR NM 33: Amostragem de concreto fresco. Método de ensaio.
13. ABNT NBR NM 67: Concreto. Determinação da consistência pelo abatimento do tronco decone. Método de Ensaio.
14. ACI 201.1R-08: Guide for Conducting a Visual Inspection of Concrete in Service.
15. ACI 214: Recommended practice for evaluation of compression test results of field concrete.
16. ACI 214.4R. Guide for obtaining cores and interpreting compressive strength results.
17. ACI 228.2R. Nondestructive Test Methods for evaluation of Concrete in Structures.
18. ACI 318M. Building Code Requirements for Structural Concrete.
19. ACI 364. Guide for Evaluation of Concrete Structures before Rehabilitation.
20. ACI 437R. Strength Evaluation of Existing Concrete Buildings.
21. ASTM C 192: Standard Practice for Making and Curing Concrete Test Specimens in theLaboratory;
22. ASTM C 642 : Standard Test Method for Density, Absorption, and Voids in Hardened Concrete;
23. ASTM C39: Standard Test Method for Compressive Strength of Cylindrical ConcreteSpecimens;
24. ASTM C42. Standard Test Method for Obtaining and Testing Drilled Cores and Sawed;
25. ASTM C805: Standard Test Method for Rebound Number of Hardened Concrete;
26. ASTM E 494 Standard Practice for Measuring Ultrasonic Velocity in Materials;
27. ASTM. C31: Standard Practice for Making and Curing Concrete Test Specimens in the Field.
28. BARTLETT, F. M.; MACGREGOR, J. G. Equivalent Specified Concrete Strength from CoreTest Data. ACI, Concrete International, v.17, n. 3, p.52-8, Mar. 1995.
29. BS 1881 204: Testing Concrete. Recommendations on the use of electromagnetic covermeters.London: BSI, 1988
30. BS 1881. Testing concrete method or determination of the compressive strength of concretecores
31. CEB-FIP Model Code 90. Design Code. Bulletin d'Information 213/214, Lausanne: CEB, May1993.
32. CEB. General Principles on Reliability for Structures. Lausanne: CEB, Bulletin 191, 1988.
33. CEN. EN 13791: Assessment of Concrete Compressive Strength in Structures or in StructuralElements.
34. CEN. ENV 13670-1: Execution of Concrete Structures
35. CEN. EUROCODE 2. EN 1992. Design of Concrete Structures. General Rules for Buildings.
36. CREMONINI, R. A. Análise de Estructuras Acabadas: Contribuição para a Determinação da Relação entre as Resistências Potencial e Efetiva do Concreto. São Paulo: USP, 1994. PCC.EP.USP Tese de Doutorado em Engenharia

Bibliografía

63. LANIKOVÁ I. et al. An economical design of concrete structures using the fully probabilistic approach (in Czech), Soudniinzenyrsstvi, 2010, Vol. 21, No. 1, p. 48–55
64. LINIERS, A. D. Análisis de la Influencia de algunas Variables en la Extracción y Ensayo a Compresión de Probetas Testigos de Hormigón. Madrid, Instituto Eduardo Torroja. Informes de la Construcción, n. 266, p. 65-79, 1974.
65. MAYNARD, D. P.; DAVIS, S. G. The Strength of “in situ” Concrete. The Structural Engineer, London, v. 52, n. 10, p. 369-74, Oct. 1974.
66. MCINTOSH, J. D. Concrete and statistics. London: CR Books, 1963.
67. MESEGUR, A. G.. Control de la Calidad. In: Colloque Européen sur le Contrôle de la Qualité dans la Construction, 1, 1976, Madrid. Comptes Rendus... European Organization for Quality Control EOQC, 1976. p. 361-3.
68. PETERSONS, N. Recommendations for Estimation of Quality of Concrete in Finished Structures. Stockholm. Materials et Constructions, v. 4, n. 24, p. 379-97, 1971.
69. RUIZ, J. C. La influencia de las variaciones resistentes de los materiales y de las variaciones dimensionales de las piezas de hormigón armado sobre su capacidad resistente. Madrid, Instituto Eduardo Torroja, Monografía 324, 1975.
70. RÜSCH, H. Researches toward a general flexural theory for structural concrete. Journal of the American Concrete Institute, Detroit, v. 57, p. 1-28, jul. 1960.
71. VIEIRA FILHO, J. O. Avaliação da Resistência à Compressão do Concreto através de Testemunhos Extraídos: Contribuição à Estimativa do Coeficiente de Correção devido aos Efeitos do Broqueamento. São Paulo: USP, 2007. PCC.EP.USP Tese de Doutorado em Engenharia



www.zerohair.it b:



Muchas Gracias!



MUCHAS GRACIAS !
OBRIGADO!



"do Laboratório de Pesquisa ao Canteiro de Obras"

paulo.helene@concretophd.com.br

11.2501.4822 / 23

11.9.5045.5562

97